

УДК 535.21 : 621.375.826

## ДИНАМИКА И ЭЛЕКТРИЧЕСКОЕ ПОЛЕ ДЕФЕКТОВ ПРИ ЛАЗЕРНОМ ПОВРЕЖДЕНИИ ПОВЕРХНОСТИ ИОННЫХ КРИСТАЛЛОВ

Ю. И. Головин, А. В. Горбунов, А. А. Шибков

Зондовым электрическим методом измерялась поляризация кристаллов типа  $A_1B_7$  и  $A_2B_6$  непосредственно в процессе импульсного лазерного повреждения их поверхности. Установлено, что параметры электрического сигнала несут информацию о динамике заряженных дислокаций и полостей микротрецин в зоне повреждения.

Механизмы и кинетика развития повреждения прозрачных кристаллов под действием интенсивного лазерного импульса реконструируются обычно по данным исследования очага разрушения post factum. Традиционные способы исследования дефектов структуры (избирательное травление, оптическая и электронная микроскопия, рентгеновские методы и др.) не обладают временным разрешением, достаточным для анализа динамики дефектообразования и эволюции структуры в процессе нагружения короткими импульсами.

С другой стороны, известно, что наиболее интересные структурные дефекты — дислокации, их скопления и трещины — обладают электрической активностью, т. е. способностью создавать электромагнитные поля, параметры которых определяются типом, размером и характером перемещения дефектов в объеме [1–7]. Непрерывная регистрация и анализ электромагнитного поля, сопровождающего зарождение и эволюцию области повреждения, способны дать уникальную информацию как о типе появляющихся дефектов, так и их динамике. В работе сделана попытка определения характера повреждения и исследования динамики дислокационных скоплений в процессе лазерного повреждения поверхности прозрачных кристаллов типа  $A_1B_7$  и  $A_2B_6$  с различной степенью ионности связи.

### 1. Методика эксперимента

Источником излучения служил импульсный ТЕА  $\text{CO}_2$ -лазер (1) (рис. 1), работавший в режиме одиночных импульсов, состоявших из пика  $t_p \approx 0.1$  мкс на полувысоте и «хвоста»  $\sim 1$  мкс, при максимальной мощности в импульсе около 0.5 МВт и полной энергии  $\sim 0.1$  Дж. Интенсивность излучения регулировали набором пластин из  $\text{CaF}_2$  (2). Затем оно фокусировалось линзой из  $\text{ZnSe}$  3 на поверхность образца 4 в пятно с гауссовым радиусом  $W_0 = 35$  мкм. С помощью Не—Не-лазера ЛГН-105 5, поляроидов 6 и микроскопа 7 можно было наблюдать фотоупругую картину в зоне повреждения. Каждый участок облучался однократно. Образцы  $\text{KCl}$ ,  $\text{NaCl}$  и  $\text{LiF}$  размерами  $5 \times 5 \times 15$  мм предварительно отжигали при предплавильной температуре и охлаждали со скоростью 10 К/ч. Образцы  $\text{ZnSe}$  и  $\text{CdS}$  имели размеры  $2 \times 6 \times 6$  мм, плоскость базиса составляла угол  $45^\circ$  с гранью  $6 \times 6$  мм, а лазерный луч направлялся вдоль базиса нормально грани  $2 \times 6$  мм. Для выявления дислокационной структуры зоны повреждения поверхность образцов протравливалась в стандартных травителях.

Электрическое поле измеряли емкостными зондами 8, размеры которых в несколько раз превышали размеры образца, так что развитие лазерного повреждения заведомо не могло нарушить электронейтральность области чувствительности зондов, а лишь вызывало поляризацию за счет перераспределения зарядов внутри нее. Для измерения составляющей дипольного момента  $P_n$ , нормальной к лазерному пучку, два таких зонда устанавливали параллельно лучу на расстоянии 5 мм от противоположных граней образца. С целью увеличения поляризации в этом направлении

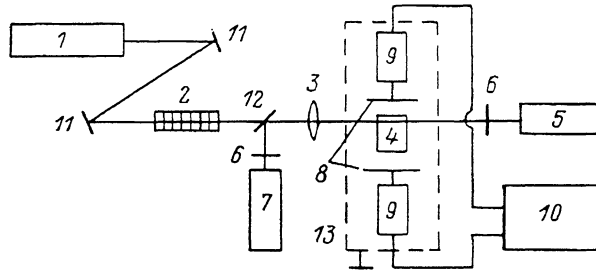


Рис. 1. Схема экспериментального устройства.

1 — TEACO<sub>2</sub>-лазер, 2 — плоскопараллельные ослабители, 3 — линзы, 4 — образец, 5 — лазер H-105, 6 — поляроид, 7 — микроскоп, 8 — зонд, 9 — предусилитель, 10 — осциллограф, 11 — зеркало, 12 — полупрозрачное зеркало, 13 — экран.

луч лазера фокусировали на поверхность вблизи ребра кристалла, на расстоянии нескольких десятков микрон от него, что вызывало образование асимметричной розетки повреждения. Сигналы с зондов усиливали электрометрическими предусилителями 9 (входной импеданс  $R=10^{11}$  Ом,  $C=20$  пФ, рабочая полоса частот 1 Гц—2 МГц, приведенный ко входу шум 5 мкВ) и регистрировали осциллографом С8-14 10. Чувствительность к изменению  $P_n$ , определенная калибровкой эталонным диполем, составляла  $0.5 \cdot 10^{-17}$  Кл·м.

## 2. Результаты и их обсуждение

Для всей совокупности исследованных образцов характерны три качественно отличающиеся картины повреждения поверхности (рис. 2), которым соответствуют три различные формы импульсов дипольного момента (ИДМ). Повреждение I типа — несимметричная дислокационная розетка вблизи ребра кристалла. Грань, подвергнутая облучению, содержала в основном краевые полосы скольжения (обычно 20—30 полос) длиной 100—300 мкм, исходящие из центральной области радиусом  $r_0=20$ —40 мкм, с плотностью дислокаций  $> 10^8$  см<sup>-2</sup>, а грань, обращенная к зонду, — приблизительно такое же количество винтовых полос. ИДМ имели форму, близкую к экспоненциальному (рис. 2, а), с амплитудой  $(0.3 \div 1) \cdot 10^{-16}$  Кл·м и длительностью фронта  $t_f$  от 0.2 до 150 мс для различных кристаллов (см. таблицу). В LiF  $P_n$  была всегда направлена к центру укола, а в исследованных кристаллах A<sub>2</sub>B<sub>6</sub> — в сторону B-грани. Повреждение II типа (рис. 2, б) — «крест» трещин на фоне области со сложной дислокационной структурой размером около 500 мкм. ИДМ характеризуется быстрым ростом  $P_n$  за время  $t_f=5\text{--}10$  мкс с последующим плавным выходом на уровень  $(2\text{--}4) \cdot 10^{-16}$  Кл·м за несколько десятков мкс. Повреждение III типа (рис. 2, в) — кратер радиусом  $\geq 40$  мкм со следами оплавления и множественного разрушения — сопровождалось образованием у поверхности плазменного факела. Для всех кристаллов ИДМ имел колоколообразную форму с амплитудой  $P_n=(1\text{--}3) \cdot 10^{-14}$  Кл·м и длительностью не менее 1 с. При II и III типах повреждения направление  $P_n$  носило случайный характер.

Все три типа повреждения и соответствующих им ИДМ отчетливо наблюдались только на кристаллах LiF при различных уровнях мощности

Н лазерного импульса. Облучение поверхности CdS и ZnSe приводило к картинам I и III типов, а кристаллов NaCl и KCl только III типа. Значение  $P_n = 0$  (при данном уровне чувствительности аппаратуры) гарантировало отсутствие повреждения.

Наблюдаемые различия в повреждении кристаллов импульсом CO<sub>2</sub>-лазера связаны с тем, что коэффициент поглощения  $\beta$  на длине волны

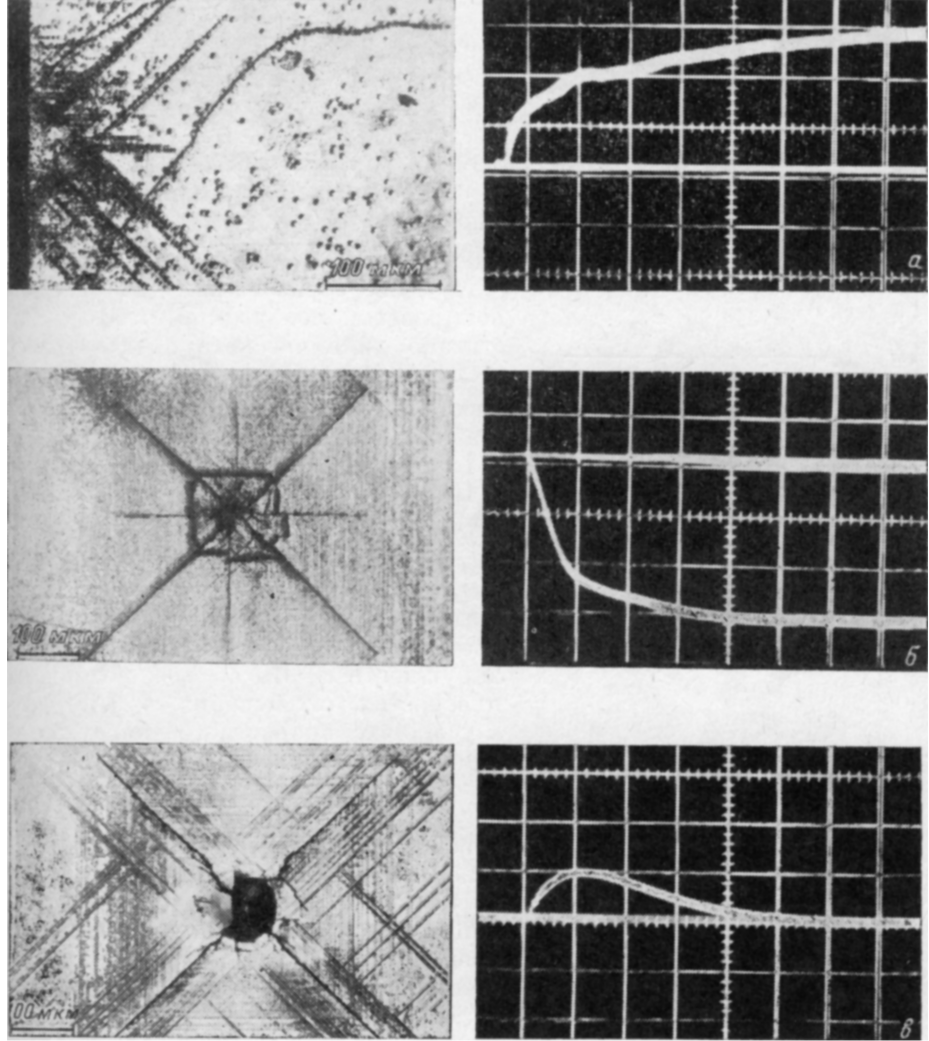


Рис. 2. Типы I (a), II (б), III (в) картин повреждения поверхности лазерным уколом и соответствующие им ИДМ в LiF.

скорость развертки, масштаб по вертикали: а — 100 мкс/дел.,  $2 \cdot 10^{-17}$  Кл·м/дел.; б — 10 мкс/дел.,  $10^{-16}$  Кл·м/дел.; в — 0.5 с/дел.,  $10^{-14}$  Кл·м/дел.

10.6 мкм отличается у них на несколько порядков величины (см. таблицу). Повреждения I и II типов в LiF объясняются действием термоупругих напряжений, появляющихся вследствие локального разогрева в приповерхностном слое толщиной  $\beta^{-1}$ . В NaCl и KCl подобным эффектом можно пренебречь. К разрушению III типа приводит, по-видимому, пробой воздуха вблизи поверхности. Анализ напряжений в двух первых случаях соответствует решению термоупругой цилиндрической задачи о прохождении гауссова пучка через полупрозрачную среду [8]. Максимальный нагрев на оси луча в адиабатическом приближении составляет  $\Delta T =$

Кристалл	Содержание примесей, вес. %	Предел текучести $\tau_y$ , МПа	Коэффициент линейного поглощения $\beta$ , см <sup>-1</sup>	Тип повреждения поверхности					
				I		ИДМ		II	
				$I_{\text{ГВт}}/\text{см}^2$	$L, \text{мм}$	$t_f, \text{мс}$	$P_{\text{н}}/10^{-15} \text{Дж} \cdot \text{м}$	$I_{\text{ГВт}}/\text{см}^2$	$L, \text{мм}$
KI	$10^{-5}$	$10^{-4}$	$10^{-1}$	$10^{-1}$	$10^{-3}$	$10^{-3}$	$10^{-15}$	$10^{-1}$	$10^{-1}$
NaCl	$10^{-4}$	$1.5 \cdot 10^{-3}$	$1.5$	$0.4$	$0.3$	$0.2$	$0.5$	$0.4$	$0.4$
LiF	$3 \cdot 10^{-3}$	$10^{-3}$	$12$	$0.3$	$0.2$	$0.2$	$0.5$	$10$	$10$
ZnSe	$10^{-3}$	$10^{-3}$	$50$	$0.3$	$0.3$	$0.2$	$0.80$	$8$	$8$
GdS	$10^{-3}$	$10^{-3}$	$50$	$0.3$	$0.3$	$0.3$	$0.450$	$—$	$—$

Признаки с.  $L$  — габаритный размер области повреждения, ИДМ — импульс дипольного момента.

$=2\beta I t_p / \rho c$ , (где  $\rho$  и  $c$  — плотность и удельная теплоемкость), а сдвиговые напряжения

$$\tau = \frac{\sigma_0}{2} \frac{W_0^2}{W_{\text{эфф}}^2} \left\{ \frac{W_{\text{эфф}}^2}{2r^2} \left[ 1 - \exp \left( -\frac{2r^2}{W_{\text{эфф}}^2} \right) \right] - \exp \left( -\frac{2r^2}{W_{\text{эфф}}^2} \right) \right\}, \quad (1)$$

где  $\sigma_0 = \alpha E \Delta T$ ,  $E$  — модуль Юнга,  $\alpha$  — коэффициент теплового расширения,  $\varepsilon$  — коэффициент температуропроводности,  $W_{\text{эфф}}^2 = W_0^2 + 8\kappa t$ . В начальный момент  $\tau_{\max} \approx \sigma_0 / 6.7$ ,  $r_{\max} \approx 0.95 W_0$ , а в дальнейшем  $\tau_{\max}$  падает пропорционально  $(W_0/W_{\text{эфф}})^2$ , а  $r_{\max}$  увеличивается как  $\sqrt{W_0^2 + 8\kappa t}$ .

1) Для образования дислокационной розетки необходимо, чтобы  $\tau_e$  достигало динамического предела текучести  $\tau_y^*$  в конце ее луча, т. е. на расстоянии  $r \approx L$  от центра укола. Подставляя для LiF  $\rho = 2640 \text{ кг}/\text{м}^3$ ,  $c = 1.6 \text{ кДж}/\text{кг}\cdot\text{К}$ ,  $L \approx 10^{-4} \text{ м}$ ,  $\alpha = 3.5 \times 10^{-5} \text{ К}^{-1}$ ,  $\tau_y^* = 7.5 \text{ МПа}$ ,  $E = 8.5 \cdot 10^4 \text{ МПа}$ ,  $I = 0.1 \text{ ГВт}/\text{см}^2$ , получим  $\Delta T \approx 340 \text{ К}$ ,  $\beta_{\text{эфф}} \approx 70 \text{ см}^{-1}$ . Максимальное напряжение  $\tau_{\max} \approx 150 \text{ МПа}$  оказывается достаточным для срабатывания поверхностных источников дислокаций вблизи окружности  $r = W_0$  во всех возможных плоскостях скольжения в LiF даже в условиях скоростного нагружения. Это приводит к образованию густого «леса» дислокаций в центральной зоне  $r \leq W_0$ . Дислокационные полосы могут зарождаться в области максимальных  $\tau$  вблизи полусферы  $r \geq W_0$ , образуя характерную розетку (рис. 2, a). Ее динамика должна контролироваться временем релаксации термических напряжений  $t_r \approx L^2 / 8\kappa \sim 10^{-4} \text{ с}$  для всех исследованных кристаллов (в частности, для LiF  $\kappa = 2.9 \cdot 10^{-2} \text{ см}^2/\text{с}$  и  $t_r \approx 4 \cdot 10^{-4} \text{ с}$ ). Соизмеримость  $t_r$  с  $t_f$  ИДМ I типа, а также направленность  $P_n$  к центру укола в LiF позволяют предположить, что природа импульсов связана с движением отрицательно заряженных дислокаций в зоне повреждения. Поскольку дислокации разных механических знаков, сосредоточенные в центральной зоне, не могут создавать дальнодействующего электрического поля, то кристалл поляризуется преимущественно за счет движения избытка заряженных краевых дислокаций одного механического знака в головных частях лучей несимметричной розетки (рис. 2, a и 3).

В предположении, что все дислокационные полосы розетки состоят из сегментов, эллиптических петель (рис. 3), оценим амплитуду ИДМ I типа, согласно [4],

$$P_n = |q| S / 2 \sqrt{2} = \frac{\pi |q|}{2 \sqrt{2}} \sum_{i=1}^m \xi_i \int_{r_0}^{L_{ei}} x^2 \gamma_i(x) dx, \quad (2)$$

где  $S$  — площадь, заметаемая всеми дислокациями;  $\gamma_i$  — линейная плотность дислокаций в  $i$ -й полосе;  $x$  — координата дислокаций в полосе;  $q$  — ее линейный заряд;  $\xi_i = L_{si} / L_{ei}$ ;  $L_{ei}, L_{si}$  — длины пробегов лидирующих дислокаций в  $i$ -й краевой и винтовой полосе соответственно, а суммирование ведется по всем  $m$  полосам скольжения в розетке. Полагая полосы идентичными и аппроксимируя по результатам травления  $\gamma(x) = \gamma_0 (1 - x/L_e)$ , получим

$$P_n = \pi \xi \gamma_0 m L_e^3 |q| / 24 \sqrt{2}. \quad (3)$$

Подставляя для LiF  $m=20$ ,  $\gamma_0 = 3 \cdot 10^5 \text{ м}^{-1}$ ,  $L_e = 2 \cdot 10^{-4} \text{ м}$ ,  $\xi \approx 1$  и  $|q| = -6 \cdot 10^{-12} \text{ Кл/м}$  [9], получим  $P_n = -3 \cdot 10^{-17} \text{ Кл·м}$ , близкую к реально наблюдаемой (см. таблицу).

Другим аргументом в пользу дислокационного происхождения ИДМ I типа является сходство его типичной формы в LiF с ИДМ на стадии незавершенного скольжения в этих кристаллах, деформируемых одиночным

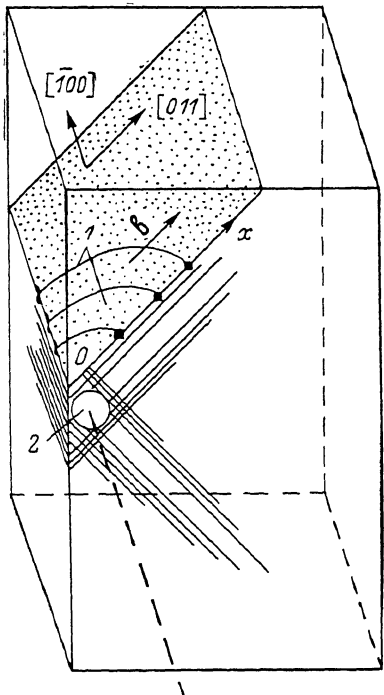


Рис. 3. Структура полосы скольжения в лучах розетки при лазерном уколе поверхности LiF близи ребра.

1 — сегменты эллиптических петель лидирующих дислокаций, 2 — полушаровидная область с большой плотностью дислокаций. Антenna расположена параллельно плоскости (010).

скольжением [3] и временной зависимостью  $P(t)$ , рассчитанной по модели зарождения и распространения полосы скольжения от источника типа концентратора напряжения [10, 11] (рис. 4, a). Полярность импульсов I типа в ZnSe и CdS также согласуется с дислокационной природой ИДМ, но  $t_f \gg t_r$ , что связано, по-видимому, с низкой подвижностью дислокаций в этих кристаллах. В результате значительную часть времени они движутся только под действием внутренних напряжений. Действительно, форма ИДМ в этих кристаллах при  $t < t_f$  коррелирует с зависимостью  $P(t)$  (рис. 4, б) в модели свободного расширения скопления, локализованного в точке при  $t=0$  [12]

$$P(t) = t^{1/2} n^{3/2} [\pi B(1-\nu)/G]^{-1/2} |q| b D / 12 \sqrt{2} \pi, \quad (4)$$

где  $\nu$  — коэффициент Пуассона;  $G$  — модуль сдвига;  $n$ ,  $D$ ,  $B$ ,  $b$  — число дислокаций, их длина, коэффициент вязкости и вектор Бюргерса дислокаций соответственно. Отношение  $L/t_f$  дает оценку средней скорости дислокаций в розетке  $v$  (для LiF  $v=40 \div 70 \text{ см/с}$ , для ZnSe и CdS  $v \leq 10^{-1} \text{ см/с}$ ), а наклон осцилограмм в первой фазе роста сигнала — их начальные скорости (для LiF  $v_0=(3 \div 5) \cdot 10^2 \text{ см/с}$ , для ZnSe и CdS  $v_0 \approx 0.2 \div 0.3 \text{ см/с}$ ).

2) С увеличением  $N$ ,  $\Delta T$  и  $\tau$  растет число и скорость дислокаций в полосах скольжения розетки укола. Взаимодействие этих полос в кристал-

лах LiF в плоскостях скольжения {110} приводит к образованию микротрещин в {100} по механизму Петча—Стро, а полос в {100} — к образованию микротрещин в {110}, развивающихся далее хрупко под действием растягивающих напряжений до визуально наблюдаемых трещин. Их вклад в  $P_n$ , оцененный по приближенному соотношению  $P_n = S_c \delta \sigma_s$  (где  $S_c$  — площадь трещины,  $\delta$  — ее раскрытие,  $\sigma_s$  — плотность поверхностных зарядов на свежей поверхности скола), согласуется с реально измеренной величиной сигнала. Так, для LiF  $\sigma_s = 3 \cdot 10^{-4}$  Кл/м<sup>2</sup> [5],  $\delta \approx 10^{-5}$  м,  $S_c \approx 10^{-7}$  м<sup>2</sup> получим значение  $P_n \approx 3 \cdot 10^{-16}$  Кл·м (ср. таблицу). По времени нарастания ИДМ и размеру креста трещин можно оценить их среднюю скорость  $v_c = L_c/t_f \approx 10^4$  см/с, что также находится в разумных пределах.

3) Объяснение ИДМ при повреждении III типа весьма затруднительно из-за большого числа одновременно действующих причин появления

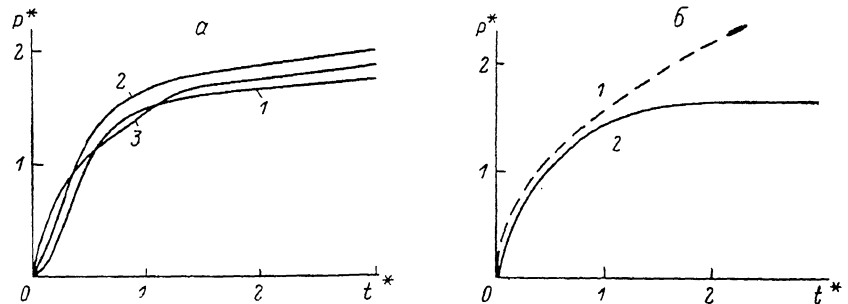


Рис. 4. Временные зависимости дипольного момента  $P^*(t^*)$  (в безразмерных единицах), полученные из теоретических моделей динамики дислокационных скоплений и из осциллограмм ИДМ.

а: 1 — модель зарождения линии скольжения; 2 — ИДМ на начальной стадии сжатия LiF, деформируемого одиночным скольжением,  $\dot{\epsilon} = 10^{-4}$  с<sup>-1</sup>; 3 — ИДМ, сопровождающий образование дислокационной розетки в LiF в результате лазерного укола; б: 1 — модель свободного расширения дислокационного скопления, 2 — ИДМ, сопровождающий лазерное повреждение первого типа в ZnSe.

нестационарного электрического поля (электронной эмиссии, испарения, горения, множественного разрушения, сложной дислокационной структуры) и не являлось целью настоящей работы. Отметим лишь, что ввиду большой амплитуды и длительности ИДМ III типа (см. таблицу) и слабой зависимости от природы кристалла их происхождение трудно связать с процессами пластической деформации и разрушения. Скорее они обусловлены образованием плазменного факела и процессами рекомбинации аэроионов вблизи и на поверхности зоны повреждения.

Таким образом, на основе анализа фигур травления, термоупругого и электрического полей зоны лазерного повреждения прозрачных кристаллов в работе описаны основные черты его эволюции. Показано, что использование широкополосного электрометрического канала регистрации электрического поля дает возможность получать информацию о характерных временах развития структуры электрически активных дефектов зоны (дислокаций, трещин) и совместно с результатами травления делать оценки их скоростей. Установленная корреляция различных картин повреждения и ИДМ позволяет надежно идентифицировать их по электрическому сигналу. Полученные в работе результаты дают возможность исследования динамики дислокаций *in situ* в условиях очень коротких импульсов нагружения, а также развивать дефектоскопические методы контроля качества оптики импульсных лазеров.

#### Л и т е р а т у р а

- [1] Whitworth R. W. Adv. Phys., 1975, vol. 24, N 2, p. 203—204.
- [2] Головин Ю. И., Дьячек Т. П., Усков В. И., Шибков А. А. ФТТ, 1985, т. 27, № 2, с. 555—557.
- [3] Головин Ю. И., Шибков А. А. ФТТ, 1986, т. 28, № 9, с. 2894—2896.
- [4] Головин Ю. И., Шибков А. А. ФТТ, 1986, т. 28, № 11, с. 3492—3499.

- [5] Головин Ю. И., Дьяченко Т. П., Орлов В. И., Тялин Ю. И. ФТТ, 1985, т. 27, № 4, с. 1110—1115.
- [6] Полетаев В. А., Шмурек С. З. ФТТ, 1984, т. 26, № 12, с. 3567—3475.
- [7] Галусташвили М. В., Дрияев Д. Г. ФТТ, 1983, т. 25, № 6, с. 1904—1906.
- [8] Горбунов А. В., Надгорный Е. М., Валковский С. Н. Phys. St. Sol. (a), 1981, vol. 66, N 1, p. 53—63.
- [9] Golovin Yu. L., Diacheck T. P. Phys. St. Sol. (a), 1985, vol. 92, N 1, p. K61—K65.
- [10] Zaitzev S. I., Nadgornyi E. M. Phys. St. Sol. (a), 1975, vol. 28, N 1, p. 49—59.
- [11] Зайцев С. И., Надгорный Э. М. ФТТ, 1979, т. 21, № 5, с. 1392—1398.
- [12] Косевич А. М. Дислокации в теории упругости. Киев: Наукова думка, 1973. 219 с.

Институт физики твердого тела АН СССР  
Черноголовка  
Московская область

Поступило в Редакцию  
12 февраля 1987 г.  
В окончательной редакции  
12 ноября 1987 г.